

(500 MHz, DMSO-d<sub>6</sub>) δ 1.23, 1.26(各 3H, s, 2× OCH<sub>3</sub>), 3.18(1H, dd, J= 9.0, 17 Hz, H-3'a), 3.43(1H, dd, J= 10.0, 17 Hz, H-3'b), 4.40(1H, d, J= 8, 17 Hz, H-1''), 4.84(1H, dd, J= 9.0, 10.0 Hz, H-2'), 6.22(1H, d, J= 9.5 Hz, H-3), 6.82(1H, s, H-8), 7.48(1H, s, H-5), 7.94(1H, d, J= 9.5 Hz, H-4) <sup>13</sup>C NMR(125 MHz, DMSO-d<sub>6</sub>) δ 21.8, 23.1(2× OCH<sub>3</sub>), 28.8(C-3'), 60.9(C-6''), 70.0(C-4''), 73.5(C-2''), 76.5(C-3''), 76.8(C-5''), 76.9(C-4'), 90.1(C-2'), 96.8(C-1''), 97.3(C-8), 111.3(C-3), 112.2(C-10), 123.9(C-5), 125.6(C-6), 144.7(C-4), 155.0(C-9), 160.5(C-2), 163.1(C-7)。此化合物酸水解后,脂溶性部分薄层色谱 R<sub>f</sub>值与异紫花前胡内酯对照品一致,但旋光方向相反。以上数据与文献报道一致<sup>[7]</sup>,故确定为 marmesinin

References

[1] Jiangsu New Medical College. *Dictionary of Chinese Materia Medica* (中药大辞典) [M]. Shanghai: Shanghai Science and Technology Publisher, 1977.  
 [2] Information Center for Chinese Herbal Medicine of State Pharmaceutical Administration of China. *Handbook for Active Constituents of Phytomedicine* (植物药有效成分手册) [M]. Beijing: People's Medical Publishing House, 1986.  
 [3] Ullah N, Ahmed S, Mohammad P, et al. Chemical constituents of *Daphne olades* [J]. *Fitoterapia*, 1999, 70(2): 214-215.  
 [4] Ishimaru K, Sudo H, Satake M, et al. Phenylglucosides from a hairy root culture of *Swertia japonica* [J]. *Phytochemistry*, 1990, 29(12): 3823-3825.  
 [5] Gewali M B, Hattori M, Namba T. Constituents of the stems of *Eucommia ulmoides* Oliv [J]. *Shoyakugaku Zasshi*, 1988, 42(3): 247-248.  
 [6] Liao Y H, Guo J, Xu L Z, et al. The chemical constituents of *Fissistigma polyanthum* Merr [J]. *Acta Pharm Sin* (药学报), 1999, 34(3): 207-209.  
 [7] Kitajima J, Okamura C, Ishikawa T, et al. Coumarin glycosides of *Glehnia littoralis* root and rhizoma [J]. *Chem Pharm Bull*, 1998, 46(9): 1404-1407.

## 一株产生<sup>1,3</sup>-二萜醌类化合物真菌的化学成分研究 (II)

刘为忠<sup>1</sup>,沈云修<sup>1</sup>,李维莉<sup>2</sup>,陈远腾<sup>3</sup>,谢金伦<sup>3</sup>

(1. 滨州医学院 化学教研室, 山东 滨州 256603; 2. 昆明高等师范专科学校, 云南 昆明 650031; 3. 云南大学 发酵工程重点实验室, 云南 昆明 650091)

自报道了竹红菌甲素<sup>[1]</sup>的结构以来,二萜醌类化合物受到了国内外学者的广泛关注和研究,是一类具有多种生物和化学特性的化合物,有着极其广泛的理论研究和应用价值<sup>[2]</sup>。二萜醌类化合物主要来源于一些真菌的代谢产物,个别来源于植物、蚜虫和海洋生物等。作者从云南省西北部山区分离到一株丝状真菌,已鉴定为子囊菌纲肉座菌科菌寄生菌属真菌 *Ascomycetes hypocreaceae hyomyces* (Fr.) Tul. sp.。经驯化在实验室内可合成多种二萜醌类化合物。前文<sup>[3-5]</sup>已报道了 5 个已知化合物和 2 个新化合物,在对其菌丝体化学成分的进一步研究中又分得 5 个化合物,分别是:痂囊腔菌素 A(I),痂囊腔菌素 B(II),竹红菌乙素(III),麦角固醇(IV)和过氧化麦角固醇(V),其中 II~V 为首次从该菌中分得;并首次测定和归属了痂囊腔菌素 B(II)的碳谱数据。

### 1 仪器与材料

XRC-1型显微熔点测定仪(温度计未校正); Perkin Elmer 577型红外光谱仪; Lamdabio 紫外光

谱仪; Bruker DRX-500核磁共振仪(TMS作内标); VG Auto Speco-3000型质谱仪。薄层色谱和柱色谱用硅胶为青岛海洋化工厂产品。菌寄生菌属真菌 *Hypomyces* sp. 由云南大学生物系杨发蓉教授鉴定;菌丝体按文献发酵而行<sup>[6]</sup>,60℃下烘干。

### 2 提取与分离

将 25 kg 菌丝体粉碎,用丙酮冷浸,减压浓缩,得浸膏 490 g;用硅胶柱层析,以石油醚-乙酸乙酯进行梯度洗脱,得化合物 IV (120 mg)和 V (84 mg);石油醚-乙酸乙酯(1:3)部分再经硅胶柱层析,以氯仿-甲醇梯度洗脱,重结晶后得化合物 I (3.5 g), II (200 mg), III (20 mg)。

### 3 结构鉴定

化合物 I: 紫红色晶体,遇碱呈鲜绿色,加酸又变红色,显示二萜醌类化合物的颜色反应; m.p. 261℃~262℃; FAB-MS m/z: 545[M<sup>+</sup>+1]; UV λ<sub>max</sub><sup>CHCl<sub>3</sub></sup> nm (lg ε): 264(4.58), 341(3.65), 460(4.44), 531(4.13), 572(4.21); IR ν<sub>max</sub><sup>KBr</sup> cm<sup>-1</sup>: 3392, 2975,

2 941, 1 703 (C=O), 1 613, 1 579, 1 540, 1 429, 1 357, 1 261, 1 218, 1 162, 963, 842; <sup>1</sup>H NMR (CDCl<sub>3</sub>) δ 16.12(2H, s, OH-3和 10), 6.59(2H, s, H-5和 8), 5.17(2H, s, H-13和 14), 4.35(3H, s, OCH<sub>3</sub>-2或 11), 4.34(3H, s, OCH<sub>3</sub>-11或 2), 4.05(6H, s, OCH<sub>3</sub>-6和 7), 2.02(3H, s, H-16), 2.01(3H, s, H-18); <sup>13</sup>C NMR数据及其归属见表 1 根据其他醌类化合物的碳谱数据推断文献中 C-6和 C-3b的归属可能颠倒了<sup>[7]</sup>。其他数据和文献基本一致<sup>[7]</sup>。被鉴定为痲囊腔菌素 A (elsinochrome A)。

表 1 化合物 I ~ III 的 <sup>13</sup>C NMR 数据 (CDCl<sub>3</sub>, 500 Hz, δ)

Table 1 <sup>13</sup>C NMR data of compounds I -III (CDCl<sub>3</sub>, 500 Hz, δ)

碳位	I	II	III	碳位	I	II	III
1	130.2 s	130.7 s	134.3 s	9b	121.6 s	122.2 s	123.5 s
1a	122.7 s	122.4 s	124.3 s	10	172.0 s	171.6 s	168.1 s
2	150.1 s	150.1 s	149.3 s	11	150.1 s	150.0 s	147.1 s
3	172.0 s	171.7 s	168.2 s	12	130.2 s	133.7 s	134.1 s
3a	107.8 s	107.5 s	108.5 s	12a	122.7 s	122.5 s	124.2 s
3b	121.6 s	122.2 s	123.9 s	13	48.6 d	48.8 d	134.5 s
4	179.8 s	179.5 s	186.1 s	14	48.6 d	42.4 d	144.6 s
5	102.4 d	102.1 d	103.1 d	15	204.8 s	69.4 d	34.7 t
6	167.4 s	167.3 s	164.7 s	16	28.0 q	21.7 q	20.7 q
6a	118.6 s	118.4 s	121.8 s	17	204.8 s	206.1 s	200.5 s
7	167.4 s	167.2 s	164.7 s	18	28.0 q	28.2 q	30.1 q
7a	118.6 s	118.6 s	121.1 s	2-OCH <sub>3</sub>	61.1 q	61.1 q	61.3 q
8	102.4 d	102.0 d	103.2 d	6-OCH <sub>3</sub>	56.5 q	56.3 q	56.5 q
9	179.8 s	179.4 s	185.9 s	7-OCH <sub>3</sub>	56.5 q	56.3 q	56.5 q
9a	107.8 s	107.2 s	107.6 s	11-OCH <sub>3</sub>	61.1	60.7 q	61.2 q

化合物 II: 紫红色粉末, 遇碱呈鲜绿色, 加酸后又变红色, 显示醌类化合物的颜色反应; mp 205 °C ~ 208 °C; FAB-MS *m/z*: 547 [M<sup>+</sup> + 1] (100); UV-vis λ<sub>max</sub><sup>MeOH</sup> nm (lgε): 216(4.60), 288(4.54), 467(4.36), 544(3.96), 585(4.09), 与醌类化合物一致, 可进一步证明为醌类化合物; IR ν<sub>max</sub><sup>KBr</sup> cm<sup>-1</sup>: 3 432, 2 969, 2 941, 1 708, 1 613, 1 581, 1 539, 1 455, 1 277, 1 216, 964, 918, 835; <sup>1</sup>H NMR (CDCl<sub>3</sub>) δ 16.08(2H, s, OH-3和 10), 6.51(1H, s, H-5), 6.49(1H, s, H-8), 5.18(1H, s, H-13), 4.24(3H, s, OCH<sub>3</sub>-2), 4.22(3H, s, OCH<sub>3</sub>-11), 4.20(3H, m, H-15), 3.99(3H, s, OCH<sub>3</sub>-6), 3.96(3H, s, OCH<sub>3</sub>-7), 3.65(1H, m, H-14), 2.11(3H, s, H-18), 1.15(3H, d, *J* = 6.0 Hz, H-16) <sup>13</sup>C NMR数据及其归属见表 1 在 HMBC中, δ5.18的氢 (1H, s, H-13) 与 150.0, 133.7和 122.5的碳 (分别是 C-11, 12和 12a) 相关, 该叔氢强烈地移向低场, 说明受到醌环的去屏蔽作用, 故 C-13与 C-12相连; δ5.18的氢又与 δ206.1的碳 (C-17) 相关, 而 δ2.11的氢 (3H, s, H-18) 与

48.8和 206.1的碳 (分别是 C-13和 17) 相关, 故 C-13又与乙酰基相连。δ3.65的氢 (1H, m, H-14) 与 δ130.7和 122.4的碳 (分别是 C-1和 1a) 相关, 故 C-14与 C-1相连; 又由于 δ3.65的氢与 δ133.7, 48.8和 206.1的碳 (分别是 C-12, 13和 17) 相关, δ5.18的氢与 δ130.7, 42.4和 69.4的碳 (分别是 C-1, 14和 15) 相关, 所以 C-13和 C-14相连构成六元环; δ1.15的氢 (3H, d, H-16) 与 δ42.4和 69.4的碳 (C-14和 C-15) 相关, δ3.65的氢与 δ69.4和 21.7的碳 (C-15和 C-16) 相关, 所以 C-14与 C-15相连, C-15和 C-16相连。至此, 化合物 II 的平面结构得到确定 (图 1), 被鉴定为文献所报道的痲囊腔菌素 B (elsinochrome B)<sup>[8]</sup>。

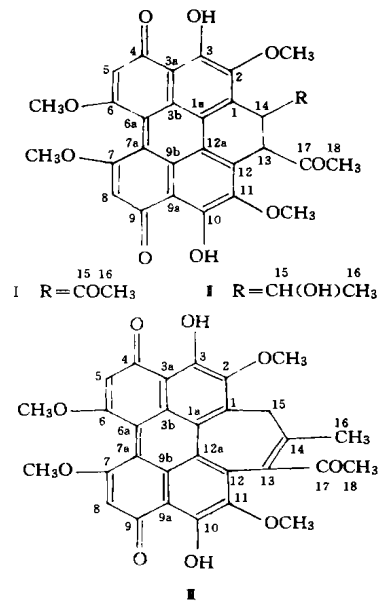


图 1 化合物 I ~ III 的结构

Fig. 1 Structures of compound I -III

化合物 III: 紫红色晶体, 遇碱呈鲜绿色, 加酸后又变红色, 显示醌类化合物的颜色反应; mp 266 °C ~ 267 °C; FAB-MS *m/z*: 529 [M<sup>+</sup> + 1] (100); UV-vis λ<sub>max</sub><sup>MeOH</sup> nm (lgε): 210(4.66), 266(4.52), 340(3.68), 468(4.32), 548(4.01), 584(3.72); IR ν<sub>max</sub><sup>KBr</sup> cm<sup>-1</sup>: 3 451, 2 938, 1 691 (C=O), 1 610, 1 525, 1 456, 1 284, 1 222, 1 156, 992, 836; <sup>1</sup>H NMR (CDCl<sub>3</sub>) δ 16.30(1H, s, OH-3或 10), 15.94(1H, s, OH-10或 3), 6.45(1H, s, H-5或 8), 6.35(1H, s, H-8或 5), 4.10(3H, s, OCH<sub>3</sub>-2或 11), 4.06(1H, d, *J* = 11.6 Hz, H<sub>A</sub>-15), 4.03(3H, s, OCH<sub>3</sub>-11或 2), 3.99(3H, s, OCH<sub>3</sub>-6或 7), 3.98(3H, s, OCH<sub>3</sub>-7或 6), 3.17(1H, d, *J* = 11.6 Hz, H<sub>B</sub>-15), 2.32(3H, s,

H-18), 1. 80(3H, s, H-16); <sup>13</sup>CNMR数据及其归属见表 1 以上数据与文献基本一致<sup>[9]</sup>, 被鉴定为竹红菌乙素 (hypocrellin B).

化合物IV: 白色针状晶体, mp 145℃~ 146℃; <sup>13</sup>CNMR数据及其归属见表 2 UV, IR, MS, <sup>1</sup>HNMR数据与文献报道一致<sup>[10]</sup>, 鉴定为麦角固醇 (ergosterol).

表 2 化合物IV, V的<sup>13</sup>CNMR数据 (CDCl<sub>3</sub>, 500 Hz, δ)

Table 2 <sup>13</sup>CNMR data of compounds IV, V (CDCl<sub>3</sub>, 500 Hz, δ)

碳位	IV	V	碳位	IV	V
1	38.5 t	34.1 t	15	21.1 t	20.6 t
2	31.6 t	30.1 t	16	28.3 t	28.6 t
3	70.0 d	66.4 d	17	55.8 d	56.2 d
4	40.5 t	37.0 t	18	12.0 q	12.1 q
5	140.0 s	82.2 s	19	16.2 q	18.2 q
6	119.5 d	135.5 d	20	40.5 d	38.7 d
7	116.3 d	130.7 d	21	21.1 q	20.9 q
8	141.3 s	79.4 s	22	135.7 d	135.2 d
9	46.3 d	51.1 d	23	132.0 d	132.3 d
10	37.1 s	36.9 s	24	42.9 d	42.8 d
11	23.0 t	23.4 t	25	33.1 d	33.1 d
12	39.2 t	39.4 t	26	19.9 q	19.6 q
13	42.9 s	44.6 s	27	19.6 q	20.0 q
14	54.6 d	51.7 d	28	17.6 q	17.6 q

化合物V: 白色针状晶体, mp 181℃~ 182℃; <sup>13</sup>CNMR数据及其归属见表 2 UV, IR, MS, <sup>1</sup>HNMR数据与文献报道一致<sup>[11]</sup>, 被鉴定为过氧化麦角固醇 (ergosterol peroxide).

References

[1] Wan X Y, Chen Y T. A new medicine in photochemical therapy—hypocrellin A [J]. *Sci Bull* (科学通报), 1980, 25 (24): 1148-1149.

[2] Jiang L J. The structures, properties, phytochemical reactions and reaction mechanisms of hypocrellins (I) [J]. *Sci Bull* (科学通报), 1990, 35(21): 1608-1616.

[3] Liu W Z, Ma L Y, Xie J L, et al. Sturctural elucidation of a new perylenequinone [J]. *Acta Pharm Sin* (药学报), 2001, 36(4): 313-314.

[4] Liu W Z, Shen Y X, Xie J L, et al. A new perylenequinone from *Hypomyces* sp. [J]. *Chin Chem Lett* (中国化学快报), 2001, 12(5): 431-432.

[5] Liu W Z, Li W L, Xie J L, et al. Studies on chemical constituents of a fungus producing perylenequinones (I) [J]. *Chin Tradit Herb Drugs* (中草药), 2001, 32(9): 771-773.

[6] Liu W Z, Chen Y T, Xie J L, et al. Studies on solidstate fermentation technology of a fungus producing perylenequinones [J]. *J Yunnan Univ- Nat Sci* (云南大学学报·自然科学版), 2000, 22(5): 389-391.

[7] Li C, Wang H Q, Xie J L, et al. Studies on biosynthesis and NMR spectrum of perylenequinones [J]. *J Chin Trop Crops* (热带作物学报), 1998, 19(Suppl): 45-47.

[8] Lousberg R J, Salemink C A, Weiss U, et al. Pigments of elsinoe species. Part II. Structure of elsinochromes A, B and C [J]. *J Chem Soc (C)*, 1969, 1219-1227.

[9] Kishi T, Tahara S, Taniguchi N, et al. New perylenequinones from *Shiraia bambusicola* [J]. *Planta Med*, 1991, 57 (4): 376-379.

[10] Smith W B. The carbon-13 spectrometry of steroids on the way to ecdysone [J]. *Org Magn Reson*, 1997, 9(11): 644-649.

[11] Gao J M, Dong Z J, Liu J K. The constituents of the Basidiomycetes *Russula cyanoxantha* [J]. *Acta Bot Yunnan* (云南植物研究), 2000, 22(1): 85-89.

紫背鹿蹄草化学成分的研究(II)

王军宪, 王晓黎, 石娟

(西安交通大学药学院, 陕西 西安 710061)

紫背鹿蹄草 *Pyrola atropurpurea* Franch. 为鹿蹄草科鹿蹄草属植物, 产于青海、甘肃、陕西、四川、云南、西藏<sup>[1]</sup>。《中华人民共和国药典》记载中药鹿蹄草科植物鹿蹄草 *P. calliantha* H. Andres 或普通鹿蹄草 *P. decorata* H. Andres 的干燥全草, 其性温味甘苦, 具补虚益肾, 驱风除湿, 活血调经的功效, 中医用于治疗虚弱咳嗽, 劳伤吐血, 风湿痹痛, 腰膝无力, 月经过多, 外伤出血。但在我国西南地区, 除上述品种外, 该属其他多种植物的全草也被用作鹿蹄草入

药, 如紫背鹿蹄草在西藏被广为应用<sup>[1]</sup>。为了进一步扩大药源, 充分利用植物资源, 有必要对该属其他种植物进行研究。国外已经对鹿蹄草属 17种植物进行了详细研究, 而国内仅限于对鹿蹄草的研究, 其他种几无研究。对于紫背鹿蹄草, 国内外均无报道, 因此, 我们对紫背鹿蹄草进行了深入研究。本文报道从其乙酸乙酯部分得到的 5个黄酮苷类化合物, 分别是鼠李素-3-氧-阿拉伯糖-4'-氧-葡萄糖苷 (rhamnetin-3-O-arabino side-4'-O-glucoside, I), 鼠李素-3-氧-

收稿日期: 2002-04-25

作者简介: 王军宪 (1953-), 陕西渭南人, 教授, 生药学硕士生导师, 《西北药学杂志》编委, 主要研究方向为天然药物中的化学成分和有效成分。